

บทที่ 2

หลักการและทฤษฎี

2.1 หลักการและทฤษฎีของท่อความร้อน

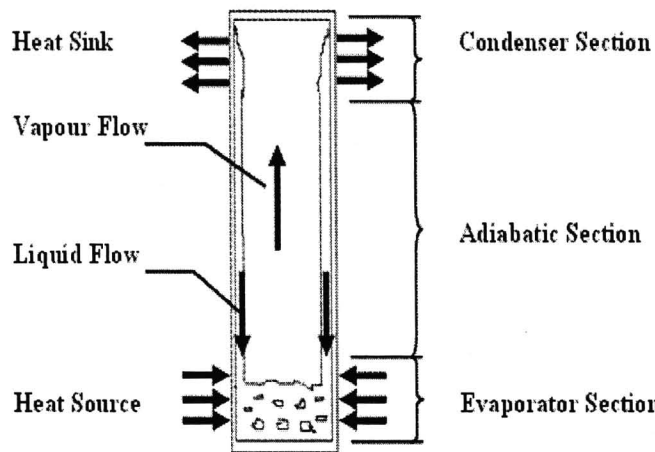
2.1.1 ท่อความร้อน

ท่อความร้อน (Heat Pipe) เป็นอุปกรณ์แลกเปลี่ยนความร้อนที่มีค่าการนำความร้อนสูงมาก โดย R.S. Gaugler เป็นคนแรกที่ได้นำเสนอความคิดเกี่ยวกับท่อความร้อนในปี 1942 แต่ อย่างไรก็ดีผู้ที่เป็นคนประดิษฐ์ท่อความร้อนขึ้นจนสามารถนำไปใช้งานได้จริงคือ G.M. Grover โดยได้ทำการประดิษฐ์ขึ้นในช่วงต้นทศวรรษที่ 1960 นับตั้งแต่นั้นเป็นต้นมาท่อความร้อนก็ได้เป็นที่รู้จักกันทั่วไปและได้ถูกพัฒนาอย่างต่อเนื่อง ซึ่งโดยทั่วไปแล้วท่อความร้อนสามารถแบ่งออกได้เป็น 2 ชนิดด้วยกันคือ

1. ท่อความร้อนแบบไม่มีวัสดุพุ่นหรือที่เรียกว่า เทอร์โมไซฟอน
2. ท่อความร้อนแบบมีวัสดุพุ่น

2.1.1.1 เทอร์โมไซฟอน

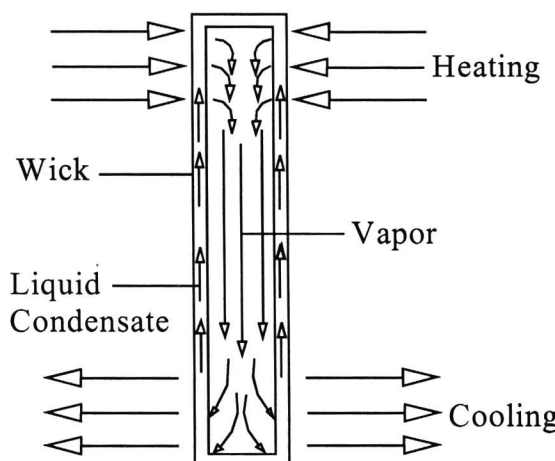
เทอร์โมไซฟอน คือท่อความร้อนที่ไม่มีวัสดุพุ่นที่ช่วยในการดึงสารทำงานที่กลั่นตัวที่ส่วนควบแน่นให้หลอกลับมาข้างส่วนทำระเหย โดยเทอร์โมไซฟอนจะประกอบด้วยส่วนทำระเหย(Evaporator section) ส่วนกันความร้อน(Adiabatic section) และส่วนควบแน่น(Condenser section) ซึ่งมีหลักการทำงานดังนี้คือ เมื่อสารทำงานที่บรรจุอยู่ภายในท่อบริเวณส่วนทำระเหยได้รับความร้อน สารทำงานจะระเหยกลายเป็นไอลอยขึ้นด้านบนนำเอาความร้อนไปยังส่วนควบแน่นที่มีอุณหภูมิต่ำกว่าและระบายความร้อนออกที่ส่วนควบแน่น จากนั้นสารทำงานที่กลั่นตัวเป็นของเหลวจะไหลย้อนกลับตกลงมาตามผนังด้านในของท่อสู่ส่วนทำระเหย โดยอาศัยแรงโน้มถ่วงของโลก สารทำงานก็จะรับเอาความร้อนจากส่วนทำระเหยอีกดังรูป 2.1



รูป 2.1 เทอร์โมไซฟอนหรือท่อความร้อนแบบไม่มีวัสดุพยุง (Dunn and Reay, 1982)

2.1.1.2 ท่อความร้อนแบบมีวัสดุพยุง

ท่อความร้อน คืออุปกรณ์ที่มีสภาพการนำความร้อนที่สูง ท่อความร้อนใช้หลักการระเหยและกลั่นตัวของสารทำงาน ท่อความร้อนเป็นท่อปิด ซึ่งภายในเป็นสุญญากาศและมีสารทำงานบรรจุอยู่ จะแบ่งท่อเป็น 3 ส่วนตามหลักการทำงานคือ ส่วนทำระเหย ส่วนไม่ถ่ายเทความร้อน และส่วนกลั่นตัว โครงสร้างท่อความร้อนแบบมีวัสดุพยุงแสดงดังรูป 2.2 ท่อความร้อนถูกบรรจุด้วยสารทำงาน ซึ่งหลักการทำงานคล้ายกับเทอร์โมไซฟอน แต่แตกต่างกันตรงหลักการการให้หลักลับสู่ส่วนทำระเหยของของเหลวความแน่น ท่อความร้อนชนิดนี้จะใช้แรงดึงดูด จึงสามารถทำงานส่วนแรงโน้มถ่วงโลก จึงทำให้สามารถจัดวางได้อย่างอิสระได้



รูป 2.2 ท่อความร้อนแบบมีวัสดุพยุง (Dunn and Reay, 1982)

จากรูป 2.1 จะเห็นว่าส่วนประกอบต่างๆ ของท่อความร้อนมีด้วยกันทั้งหมด 2 ส่วน ด้วยกัน คือ ท่อบรรจุ ซึ่งทำหน้าที่เป็นที่บรรจุสารทำงาน โดยปกติจะใช้วัสดุที่มีค่าการนำความร้อนสูง มีความแข็งแรงเพียงพอต่อแรงดันของสารทำงานที่จะเกิดขึ้นจากภายในตัวท่อ และต้องไม่ทำปฏิกิริยาเคมีกับสารทำงานภายในท่อ และสิ่งแวดล้อมภายนอกท่อ การบรรจุสารทำงานลงในตัวท่อความร้อนทำโดยการทำให้ตัวท่อความร้อนเป็นสุญญากาศ จากนั้นจึงเริ่มบรรจุสารทำงานลงในท่อ

สารทำงาน เป็นตัวกลางส่งผ่านความร้อนจากแหล่งความร้อนอุณหภูมิสูง ไปยังแหล่งความร้อนอุณหภูมิต่ำ โดยเมื่อสารทำงานที่อยู่ในส่วนท่าระ夷ได้รับความร้อนจากแหล่งความร้อนอุณหภูมิสูง ก็จะเกิดการระ夷กลายเป็นไอ โดยอุณหภูมิที่น้อยที่สุดที่ทำให้สารทำงานเกิดการระ夷จะเป็นอุณหภูมิอิ่มตัวที่สอดคล้องกับความดันภายในท่อความร้อน ไอสารทำงานที่เกิดจากการระ夷จะไหลไปยังส่วนควบแน่น และเมื่อไอสารทำงานสัมผัสถกับผนังท่อที่อยู่ในแหล่งความร้อนอุณหภูมิต่ำ ก็จะสูญเสียความร้อนให้กับผนังท่อนั้นและควบแน่นกลายเป็นของเหลวและไหลกลับมา.yang ส่วนท่าระ夷 ด้วยแรงโน้มถ่วงโลก

2.2 ทฤษฎีที่เกี่ยวข้องในงานวิจัย

2.2.1 คุณลักษณะการส่งถ่ายความร้อนของเทอร์โมไฟฟอน

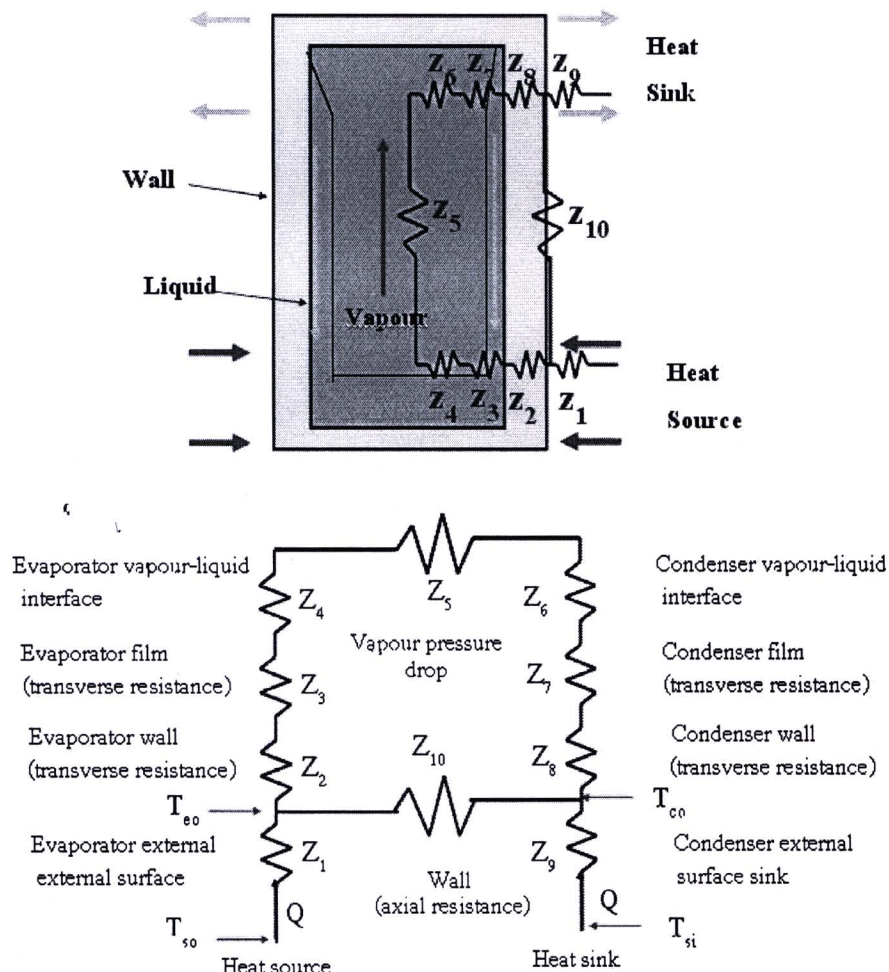
สมรรถนะของท่อความร้อน สามารถแสดงได้โดยค่าความต้านทานความร้อนรวม (Z_{total}) อัตราการส่งถ่ายความร้อนจริง (Q) และผลต่างระหว่างแหล่งให้ความร้อน และแหล่งรับความร้อน (ΔT) โดยใช้ความสัมพันธ์ดังนี้

$$Q = \frac{\Delta T}{Z_{total}} \quad (2.1)$$

โดยที่ $Z_{total} = Z_1 + \left(\frac{Z_{int} \times Z_{10}}{Z_{int} + Z_{10}} \right) + Z_9$

และ $Z_{int} = Z_2 + Z_3 + Z_4 + Z_5 + Z_6 + Z_7 + Z_8$

ค่าความต้านทานทางความร้อนรวมถูกแทนในรูปของเครื่องข่ายทางอุณหภูมิของค่าความต้านทานทางความร้อนรวม (Z_1 ถึง Z_{10}) ดังรูป 2.3



รูป 2.3 เครื่อข่ายทางอุณหคติของค่าความต้านทานทางความร้อนรวมของท่อความร้อน

(Dunn and Reay, 1982)

Z_1 และ Z_9 คือค่าความต้านทานทางความร้อนระหว่างแหล่งให้ความร้อนกับผิวท่อค่านอกของส่วนทำระเหย และระหว่างผิวท่อค่านอกของส่วนควบแน่นกับแหล่งรับความร้อนตามลำดับ คำนวนหาได้จาก

$$Z_1 = \frac{1}{h_{eo} A_{eo}} \quad (2.2)$$

$$Z_9 = \frac{1}{h_{co} A_{co}} \quad (2.3)$$

Z_2 และ Z_8 คือค่าความต้านทานทางความร้อนของผนังท่อส่วนทำระเหยและส่วนควบแน่นตามลำดับ คำนวณหาได้จาก

$$Z_2 = \frac{\ln\left(\frac{D_o}{D}\right)}{2\pi l_e k} \quad (2.4)$$

$$Z_8 = \frac{\ln\left(\frac{D_o}{D}\right)}{2\pi l_c k} \quad (2.5)$$

Z_3 และ Z_7 คือค่าความต้านทานทางความร้อนภายในของการเดือดและการควบแน่นของสารทำงานภายในท่อ ประกอบด้วยคุณสมบัติของสารทำงานและอัตราการถ่ายเทความร้อนของท่อ คำนวณหาได้จาก

Z_3 ประกอบด้วย Z_{3p} และ Z_{3f}

Z_{3p} คือ ความต้านทานของของเหลวที่เกิดจากแอ่งของเหลว คำนวณหาได้จาก

$$Z_{3p} = \frac{1}{\Phi_3 g^{0.2} Q^{0.4} (\pi D_i L_e)^{0.6}} \quad (2.6)$$

เมื่อ Φ_3 คือ ค่าคงที่ของสารทำงาน Figure of Merit ซึ่งสามารถหาได้จาก

$$\Phi_3 = 0.325 \frac{\rho_l^{0.5} k_l^{0.3} C_{pl}^{-0.7}}{\rho_v^{0.25} L^{0.4} \mu_l^{0.1}} \left[\frac{P_v}{P_a} \right]^{0.23} \quad (2.7)$$

Z_{3f} คือ ความต้านทานของของเหลวที่เกิดจากแผ่นพิล๊อกของเหลวเหนือส่วนแอ่งของเหลวในส่วนรับความร้อน คำนวณหาได้จาก

$$Z_{3f} = \frac{0.235 Q^{1/3}}{D_i^{4/3} g^{1/3} L_e \Phi_2^{4/3}} \quad (2.8)$$

Φ_2 คือ ค่าคงที่ของสารทำงาน Figure of Merit ซึ่งสามารถหาได้จาก

$$\Phi_2 = \left(\frac{Lk_l^2}{\mu_l} \right)^{1/4} \quad (2.9)$$

เงื่อนไขในการใช้ Z_{3p} และ Z_{3f} เพื่อใช้เป็นค่า Z_3 คือ

$$\text{ถ้า } Z_{3p} > Z_{3f}$$

$$Z_3 = Z_{3p}$$

$$\text{ถ้า } Z_{3p} < Z_{3f}$$

$$Z_3 = Z_{3p} F + Z_{3f} (1-F)$$

เมื่อ F คือ อัตราส่วนการเติม

$$F = \frac{V_l}{AL_e}$$

เมื่อ V_l คือ ปริมาตรของสารทำงานที่เติม

A คือ พื้นที่หน้าตัดของท่อ

Z_7 คือ ค่าความต้านทานทางความร้อนภายในของการควบแน่นของสารทำงานภายในท่อ โดยเป็นความต้านทานของของเหลวที่เกิดจากแผ่นพิล์มของเหลวที่ไหลกลับในส่วนควบแน่น คำนวณหาได้เช่นเดียวกับ Z_{3f} คือ

$$Z_7 = \frac{0.235 Q^{1/3}}{D_i^{4/3} g^{1/3} L_e \Phi_2^{4/3}} \quad (2.10)$$

Z_4 และ Z_6 คือค่าความต้านทานทางความร้อนที่เกิดขึ้นที่หน้าสัมผัสระหว่างของเหลวและไออกสารทำงานภายในท่อส่วนทำระเหยและส่วนควบแน่นตามลำดับ ซึ่งมีค่าน้อยเมื่อเปรียบเทียบกับค่าความต้านทานอื่นๆ จึงไม่นำมาพิจารณา

Z_5 คือ ค่าความต้านทานทางความร้อนอันเนื่องมาจากความดันไออกซ์เจนที่อยู่ในห้องว่าง ส่วนทำเรียงและส่วนควบแน่น มีผลทำให้อุณหภูมิอิ่มตัวของสารทำงานลดลงด้วย อัตราการ ควบแน่นจึงลดลง แต่มีค่าน้อยเมื่อเทียบกับค่าความต้านทานอื่นๆ จึงไม่นำมาพิจารณา

Z_{10} คือ ค่าความต้านทานทางความร้อนตามแนวแกนของผังท่อระบุ โดยการนำ ความร้อนขึ้นกับความหนาและวัสดุที่ใช้ทำท่อความร้อนหาค่าประมาณจากสมการ

$$Z_{10} = \frac{0.5l_e + l_a + 0.5l_c}{Ak} \quad (2.11)$$

สำหรับการทำงานตามปกติของเทอร์โม ไซฟอน ที่มีส่วนทำเรียงอยู่ระดับต่ำกว่าส่วน ควบแน่น การนำความร้อนตามแนวยาวของผังท่อจะช่วยทำงานเล็กน้อย ดังนั้นจึงอาจใช้หลักการ “เทอร์มอล ไดโอด (Thermal diode)” ซึ่งจะได้เกณฑ์ในการพิจารณาดังสมการ

$$\frac{Z_{10}}{Z_2 + Z_3 + Z_7 + Z_8} > 20 \quad (2.12)$$

หากเป็นไปตามสมการด้านบน ค่าความต้านทานทางความร้อนรวมจะเป็น

$$Z_{total} = Z_1 + Z_2 + Z_3 + Z_7 + Z_8 + Z_9$$

แต่หากไม่เป็นไปตามสมการด้านบน จะต้องพิจารณา Z_{10} ด้วย โดยค่าความต้านทาน ทางความร้อนรวมจะเป็น

$$Z_{total} = Z_1 + \left[\frac{(Z_2 + Z_3 + Z_7 + Z_8) \times Z_{10}}{Z_2 + Z_3 + Z_7 + Z_8 + Z_{10}} \right] + Z_9 \quad (2.13)$$

2.2.2 จุดจำกัดการทำงานสูงสุดของเทอร์โม ไซฟอน

เมื่อเหล็กให้ความร้อนและเหล็กรับความร้อนมีความแตกต่างของอุณหภูมิที่เพิ่มขึ้น จะทำ ให้เทอร์โม ไซฟอนมีการถ่ายเทความร้อนได้สูงขึ้นจนถึงจุดๆ หนึ่ง ซึ่งจะทำให้ค่าการถ่ายเทความ ร้อนสูงสุด เรียกว่า อัตราการถ่ายเทความร้อนวิกฤต ทั้งนี้เนื่องจากขีดจำกัดในการถ่ายเทความร้อน คือ จุดจำกัดความดันไอก (Vapour pressure limit) จุดจำกัดความเร็วเสียง (Sonic limit) จุดจำกัด การแห้ง (Dryout limit) จุดจำกัดการเดือด (Boiling limit) และจุดจำกัดการไหลสวนทาง (Counter-current flow limit) ซึ่งมีรายละเอียดดังนี้คือ

2.2.2.1 จุดจำกัดความดันไอ (Vapour pressure limit) เกิดขึ้นที่การทำงานของเทอร์โน่ไซฟอนทำงานที่ความดันต่ำกว่าบรรยายกาศ ทำให้ความดันตกคร่อมของไอดีมีผลต่อการถ่ายเทความร้อน จึงจำกัดความดันไอหายได้จาก

$$\frac{Q_m}{Ak} = \frac{D^2 P_v \rho_v}{64 \mu_v L_{eff}} \quad (2.14)$$

2.2.2.2 จุดจำกัดความเร็วเสียง (Sonic limit) เกิดขึ้นเมื่อใช้งานเทอร์โน่ไซฟอนที่ความดันต่ำ จึงทำให้ความเร็วของไอดีมีค่าเข้าใกล้กับความเร็วเสียงในไอ ซึ่งเป็นสาเหตุให้ความร้อนไม่สามารถถ่ายเทได้สูงขึ้นไปอีก ดังนั้นการคำนวณหาจุดจำกัดความเร็วเสียง จะเป็นการประมาณค่า การถ่ายเทความร้อนสูง สามารถหาได้จาก

$$\frac{Q_{max}}{AL} = 0.5 (\rho_l \rho_v)^{0.5} \quad (2.15)$$

2.2.2.3 จุดจำกัดการแห้ง (Dryout limit) จุดจำกัดนี้เกิดขึ้น ได้สองกรณี คือ เมื่อเติมสารทำงานปริมาณน้อยเกินไปและเติมสารทำงานปริมาณมากเกินไป มีรายละเอียดดังนี้

ก. เมื่อเติมสารทำงานปริมาณน้อยเกินไป หากมีการป้อนฟลักซ์ความร้อนช่วงการระเหยสูง จะทำให้ของเหลวส่วนล่างเริ่มแห้ง อุณหภูมิผนังจะค่อยๆ เพิ่มขึ้น

ข. เมื่อเติมสารทำงานมากเกินไป จะทำให้สารทำงานระเหยกลายเป็นไอ ได้มากขึ้น และระดับผิวดอกของเหลวลดลงอย่างช้าๆ ผลต่อมาจะมีแรงเสียบระหว่างความเร็วของไอดีกับของเหลว ที่ควบแน่นสูงขึ้น จะทำให้เกิดการสะสมของของเหลวในช่วงการควบแน่นมากขึ้น ทำให้เกิดการเหือดแห้งเหนือนบ่อของเหลว อุณหภูมิของผนังท่อจะสูงขึ้น เมื่อน้ำหนักของเหลวที่ควบแน่นมากกว่าแรงดันไอ ของเหลวจะตกลงสู่ช่วงการระเหยและจะทำให้อุณหภูมิผนังแก่วงไปมา

2.2.2.4 จุดจำกัดการเดือด (Boiling limit) เกิดขึ้นเมื่อสภาวะที่มีการป้อนฟลักซ์ความร้อนเข้าสู่ช่วงการระเหยสูงๆ ทำให้เกิดการเดือกรุนแรงขึ้นและพบว่ามีฟลีมไอกล่องที่ผิวดอกของส่วนทำระเหย พลีมไอกล่องนี้จะเป็นชั้นกั้นระหว่างผิวแดกเปลี่ยนความร้อนและของเหลวในส่วนทำระเหย ทำให้ของเหลวในส่วนทำระเหยไม่สามารถสัมผัสกับผิวแดกเปลี่ยนความร้อนได้ และการส่งผ่านความร้อนจากผิวแดกเปลี่ยนความร้อนในส่วนทำระเหยไปยังสารทำงานก็ยุติลง ซึ่งทำให้ผิวแดกเปลี่ยนความร้อนในบริเวณนั้นมีอุณหภูมิสูงขึ้นอย่างรวดเร็ว เกิดเป็นจุดร้อนจัด (hot spot) ขึ้น ข้อควรระวัง

หากเวียนของของเหลว จีดจำกัดนี้เรียกว่า จีดจำกัดเนื่องจากการเดือด ซึ่งคำนวณได้จากความสัมพันธ์ดังต่อไปนี้

$$\frac{Q_{\max}}{A_e} = 0.12L(\rho_v)^{0.5} [\sigma g(\rho_l - \rho_v)]^{0.25} \quad (2.16)$$

โดยที่ A_e คือ พื้นที่ผิวภายในของส่วนทำระเหย

$$A_e = \pi D_o l_e$$

σ คือ แรงตึงผิว (Surface tension) ของสารทำงาน

2.2.2.5 จีดจำกัดการไหลดวนทาง (Counter-current flow limit) เกิดขึ้นเมื่อเพิ่มฟลักซ์ความร้อนขึ้น ทำให้สารทำงานระเหยเป็นไอน้ำมากขึ้นและมีความเร็วสูงขึ้น ทำให้แรงเสื่อมที่ผิวสัมผัสของไอกับของเหลวที่ไหลดลงมาจากส่วนควบแน่นมีค่าสูงขึ้นด้วย ทำให้เกิดการต้านไม่ให้ของเหลวไหลดลงสู่แอ่งของเหลว ปรากฏการณ์นี้เรียกว่า การท่วม (Flooding) หรือการหอบพา (Entainment) ทำให้เกิดจีดจำกัดขึ้นคือ จีดจำกัดการท่วม (Flooding limit) หรือจีดจำกัดการหอบพา (Entainment limit) สามารถหาได้จากความสัมพันธ์

$$\frac{Q_{\max}}{AL} = f_1 f_2 f_3 (\rho_v)^{0.5} [g(\rho_l - \rho_v) \sigma_l]^{0.25} \quad (2.17)$$

เมื่อ f_1 เป็นพังก์ชันของ Bond number

$$Bo = D \left[\frac{g(\rho_l - \rho_v)}{\sigma} \right]^{0.5} \quad (2.18)$$

ถ้า $Bo > 11$, $f_1 = 8.2$

f_2 เป็นพังก์ชัน ไร้มิติของความตัน K_p

$$K_p = \frac{\rho_v}{[g(\rho_l - \rho_v) \sigma]^{0.5}} \quad (2.19)$$

และ $f_2 = K_p^{-0.17}$ if, $K_p \leq 4 \times 10^4$

และ

$$f_2 = 0.165 \text{ if, } K_p > 4 \times 10^4$$

f_3 เป็นฟังก์ชันของมุมอุปทาน เมื่อท่ออยู่ในแนวตั้งจะมีค่าเท่ากับ 1

2.2.3 การออกแบบเทอร์โมไฟฟอน

เทอร์โมไฟฟอนเป็นอุปกรณ์แลกเปลี่ยนความร้อนที่มีส่วนประกอบสำคัญ 2 อย่างคือ

1. สารทำงาน (Working fluid)
2. ท่อบรรจุ (Container)

ในการเลือกวัสดุที่เหมาะสมของทั้ง 2 อย่าง จะต้องมีองค์ประกอบหลายอย่างที่จะต้องคำนึงพิจารณา โดยจะมีหลักการพื้นฐานในการเลือกดังต่อไปนี้

2.2.3.1 สารทำงาน (Working fluid) ปัจจัยแรกสำหรับการเลือกสารทำงานที่เหมาะสมคือช่วงอุณหภูมิไอที่ใช้ทำงานและการเลือกสารทำงานใดๆ สิ่งที่ควรพิจารณาเป็นอันดับแรก คือ

- การเข้ากันได้กับผนังท่อที่บรรจุ
- เสถียรภาพทางความร้อนที่ดี
- สามารถเบี่ยงได้กับผนังท่อที่บรรจุ
- ความดันไอจะต้องไม่สูงหรือต่ำเกินไปในช่วงอุณหภูมิที่ทำงาน
- มีค่าความร้อนแฟลสูง
- มีค่าการนำความร้อนสูง
- มีความหนืดในสภาพของเหลวและไอต่ำ
- แรงตึงผิวสูง
- มีจุดไฟไหม้อุดมเยือกแข็งที่ยอมรับได้

ในการเลือกสารทำงานนี้ จะต้องคุยกับผู้เชี่ยวชาญเฉพาะทางเทอร์โมไนมิกส์ ซึ่งเกี่ยวข้องกับปัจจัยสำคัญๆ ของการไฟฟ้า ของความร้อนภายในท่อความร้อน น้ำที่คือปัจจัยสำคัญๆ ที่ได้กล่าวมาแล้วข้างต้น

2.2.3.2 ท่อบรรจุ (Container) หน้าที่ของท่อบรรจุคือ ป้องกันสารทำงานไม่ให้ออกสู่ สิ่งแวดล้อม ดังนั้นจะต้องเป็นส่วนที่ป้องกันการรั่วไหลได้และสามารถควบคุมความแตกต่างของ ความดันระหว่างผนังและสารที่จะถ่ายเทความร้อนเข้า - ออกที่เกิดขึ้นจากสารทำงานได้ การเลือกวัสดุของผนังท่อนั้นจะขึ้นอยู่กับหลายปัจจัยดังนี้

- ความเข้ากันได้กับสารทำงาน
- อัตราส่วนความแข็งแกร่งต่อน้ำหนัก
- ค่าการนำความร้อน
- ง่ายต่อการขีนรูป เชื่อม กลึง ขัด และดึง
- มีค่าความพรุนที่ต่ำ
- มีค่าความเยียกที่ดี

ดังนั้นในการออกแบบท่อความร้อนเพื่อที่จะทำให้สามารถส่งถ่ายความร้อนได้สูงที่สุด จึง จำเป็นที่จะต้องพิจารณาถึงคุณสมบัติต่าง ๆ ดังที่ได้กล่าวมาแล้วข้างต้น

2.2.4 หลักการของระบบการปลูกพืชแบบไม่ใช้ดิน

การปลูกพืชโดยไม่ใช้ดิน หมายถึง วิธีการปลูกพืชเพื่อให้พืชได้รับสารอาหารหรือ สารละลายน้ำอาหารพืชที่มีน้ำที่ผสมกับธาตุอาหารที่พืชต้องการ จากทางรากพืชโดยพืชที่ปลูกนั้น จะปลูกลงบนวัสดุปลูกหรือโดยไม่ต้องมีวัสดุปลูกก็ได้ จำแนกออกได้หลายรูปแบบ ดังนี้

2.2.4.1 ระบบการปลูกพืชโดยไม่ใช้ดินตามวิธีการปลูก

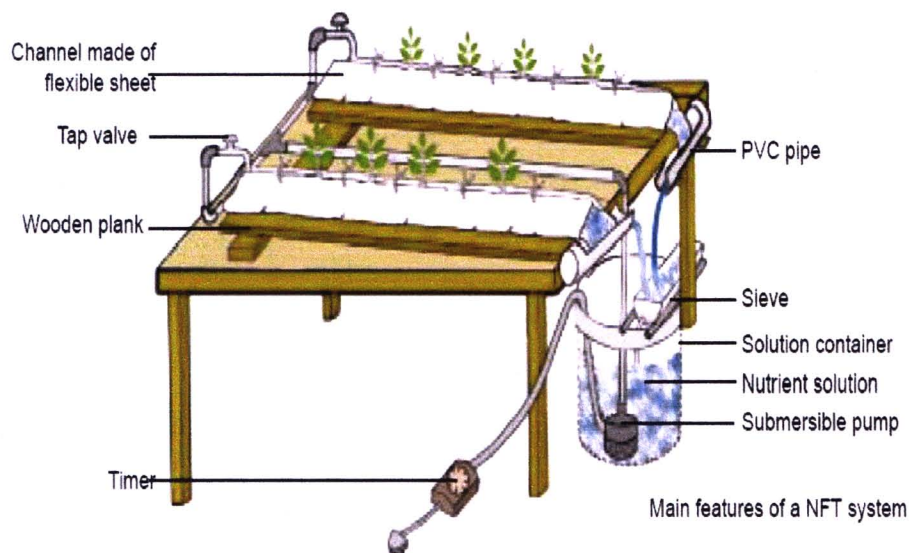
2.2.4.1.1 การปลูกพืชโดยให้รากลอยอยู่ในอากาศหรือ แอโรปอนิกส์ (Aeroponics) การปลูกพืชโดยให้รากลอยอยู่ในอากาศหรือการปลูกในอากาศ (Aeroponics) หรือ แอโรปอนิกส์ เป็นการปลูกในภาชนะที่มีการยึดต้นพืชให้ส่วนรากแขวนลอยในอากาศ เพื่อรับ สารอาหารที่พ่นให้เป็นระยะตามช่วงเวลาที่กำหนด การปลูกแบบนี้ในอดีตมีข้อเสียคือ นอกจากต้อง ลงทุนค่าใช้จ่ายในการต้านวัสดุอุปกรณ์ค่อนข้างสูงแล้ว ยังต้องเสียค่าไฟจากเครื่องสูบน้ำเพื่อพ่นสูง กว่าวิธีการอื่นๆ เนื่องจากต้องพ่นสารอาหารไปที่รากพืชเป็นระยะที่สำคัญคือ ถ้าระบบพ่นอุดตัน (หรือปั๊มและระบบไฟฟานีปั๊บหาย) จะทำให้พืชเสียหาย

2.2.4.1.2 การปลูกพืชในวัสดุปลูก (Substrate Culture) คือ การปลูกโดยใช้วัสดุ ปลูกที่เป็นของแข็ง สามารถจำแนกได้เป็นวัสดุปลูกอนินทรีย์สารและวัสดุปลูกอนินทรีย์สาร วัสดุปลูกที่เป็นอนินทรีย์สาร ได้แก่ วัสดุที่เกิดขึ้นเองตามธรรมชาติ เช่น ทราย(sand) ก้อนกรวด (gravel) หินเกล็ด หินภูเขาไฟหรือปูนซีซ (pumice) หินชิสต์ (schist)

วัสดุที่ผ่านกระบวนการโดยใช้ความร้อน เช่น ดินเผา (ceramic) เม็ดดินเผา (expandedclay) ไยหิน หรือร็อกวูล (rockwool) เพอร์ลิต (perlite) เวอร์มิคูลิต (vermiculite) ไฮดรอตัน (hydroton) และถ่านแกลบหยานที่ได้จากการเผาแกลบสด วัสดุสังเคราะห์ เช่น เม็ดฟอง แผ่นฟองน้ำ สารคูด ความชื้น และเส้นใยพลาสติก วัสดุเหลือใช้จากโรงงาน/โรงสี เช่น เศษอิฐจากการทำอิฐมวล เศษดินเผาจากโรงงาน เครื่องปั้นดินเผา ขี้ถ้าแกลบ

วัสดุปลูกที่เป็นอินทรีย์สาร ได้แก่ วัสดุที่เกิดขึ้นเองตามธรรมชาติ เช่น พังช้า ขี้เลือย เปลือกถั่วเปลือกไม้ พีท วัสดุเหลือใช้จากโรงงาน/โรงสี เช่น บุยและเส้นใยมะพร้าว แกลบสด ากชาน อ้อยจากโรงงานน้ำตาล

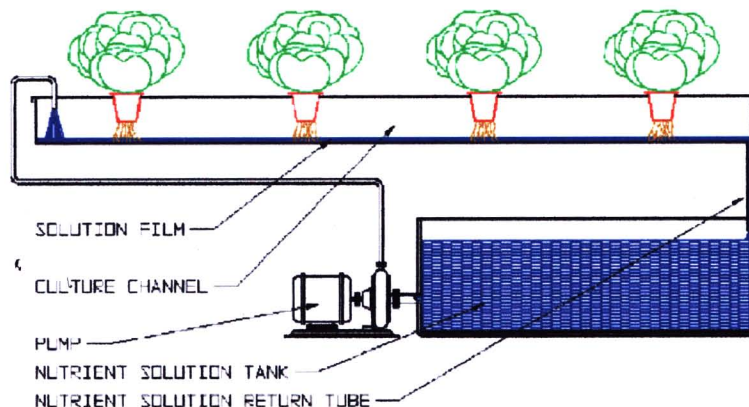
2.2.4.1.3 การปลูกพืชในสารละอายชาตุอาหารพืชหรือการปลูกให้รากพืชสัมผัสน้ำ (Water Culture หรือ Hydroponics) เป็นการปลูกพืชที่ไม่ใช้วัสดุปลูก กล่าวคือจะปลูกพืชลงบนสารละอายชาตุอาหารพืชโดยให้รากพืชสัมผัส กับสารอาหาร โดยตรง คำว่า Hydroponics มาจาก การรวมคำ ในภาษากรีกสองคำ คือคำ ว่า Hydro หมายถึงน้ำ และ Ponos หมายถึง งาน ซึ่งเมื่อ รวมกันแล้ว ความหมายก็คือ Water-working หรือหมายถึง การทำงานของน้ำ (สารละลายชาตุอาหาร) ผ่านรากพืช



รูป 2.4 ระบบปลูกพืชแบบให้รากพืชสัมผัสสารอาหาร (Water Culture หรือ Hydroponics)
(Hydroponics Department of Agriculture Ministry of Agriculture)

ผู้ที่จะปลูกพืชโดยไม่ใช้ดินในลักษณะนี้ จะต้องควบคุมอุณหภูมิของสารละลายชาตุอาหารพืชให้เหมาะสมกับการเจริญเติบโตของพืช จำแนกออกเป็น

การปลูกแบบระบบให้สารละลายน้ำต่ออาหารพืชไอล์ฟาร์มพีชเป็นแผ่นบางบนรางปูกลอย่างต่อเนื่อง (Nutrient Film Technique, NFT) เป็นการให้สารอาหารไอล์ฟาร์มพีชไปยังรากพืชที่ปูกลอย่างบางตามความลาดชันของรางปูกล



รูป 2.5 ระบบปูกลพีชแบบสารละลายน้ำต่ออาหารพืชไอล์ฟาร์มพีชเป็นแผ่นบางบนรางปูกลอย่างต่อเนื่อง (NFT) (www.hhydro.com/images/NFT)



รูป 2.6 รางหรือรางปูกล (www.kmitl.ac.th/soilkmitl)

**การปูกลแบบระบบให้สารละลายน้ำอาหารพืชไหหล่อ่นรากพืชแบบ
แผ่นหนานนร่างปูกลอย่างต่อเนื่อง (Nutrient Flow Technique, NFLT)** วิธีนี้จะคุณเมื่อนกับการ
ปูกลพืชไหหลอยแข่นน้ำในดำารเด็กๆ ที่มีน้ำดีนๆ ให้ไหหลช้าๆ อย่างสม่ำเสมอบนร่างปูกลอย่าง
ต่อเนื่อง แต่มีระดับความลึกของสารละลายน้ำที่ส่งมาให้ลึกกว่าระบบ NFT คือลึกประมาณมากกว่า 3
มิลลิเมตรจนถึง 15 มิลลิเมตร มีอัตราการไหหลของสารละลายน้ำดีชันของร่างปูกลมากกว่า
ระบบ NFT

**การปูกลแบบระบบให้สารละลายน้ำอาหารพืชไหหล่อ่นรากพืชในร่าง
ปูกลหรือห่อปูกลหรือคาดปูกลในระดับลึก (Deep Flow Technique, DFT)** วิธีนี้จะให้สารละลายน้ำ
อาหารสูงกว่า 2 แบบแรกที่กล่าวมา ซึ่งจะช่วยแก้ปัญหาเมื่อระบบไฟฟ้าขัดข้อง รากพืชยัง
สามารถใช้น้ำหรือสารละลายน้ำที่ท่วมขังอยู่ในร่างปูกล

2.2.4.2 ระบบการปูกลพืชโดยไม่ใช้ดินตามวิธีการให้สารละลายน้ำอาหารพืช

การให้สารละลายน้ำอาหารพืชแบบท่วมสลับกับการระบายน้ำออกอย่างต่อเนื่อง
(Flood and Drain, FAD) การให้สารละลายน้ำอาหารพืชแบบน้ำหยด การให้สารละลายน้ำ
อาหารพืชโดยการดูดซึม เป็นการให้สารอาหารซึมผ่านวัสดุปูกลเข้าสู่รากพืชแบบการดูดน้ำมันจาก
ไส้ตะเกียงหรือ Capillary Action การให้สารละลายน้ำอาหารพืชที่ปูกลในสารละลายน้ำอาหาร
พืช จำแนกเป็น 2 วิธี คือ การให้สารละลายน้ำอาหารพืชแบบไม่หมุนเวียน จำแนกออกเป็น 2
ลักษณะ คือการให้สารละลายน้ำอาหารพืชแบบเติมอากาศ และแบบไม่เติมอากาศ การให้
สารละลายน้ำอาหารพืชแบบหมุนเวียน แบบ NFLT, DFT, DRFT และ FAD

2.2.4.3 ระบบการปูกลพืชโดยไม่ใช้ดินตามระบบการใช้สารละลายน้ำอาหารพืช

**2.2.4.3.1 ระบบที่นำเอาสารละลายน้ำอาหารพืชที่ใช้แล้วกลับมาใช้ใหม่หรือ
ระบบปิด (Closed System หรือ Recirculating System)** เป็นวิธีที่ปฏิบัติกันโดยทั่วไปโดยเฉพาะ
ในการปูกลพืชสารละลายน้ำอาหารพืช เช่น NFT, NFLT, NDFT และ FAD

**2.2.4.3.2 ระบบที่ไม่นำเอาสารละลายน้ำอาหารพืชที่ใช้แล้วกลับมาใช้ใหม่หรือ
ระบบเปิด (Open System หรือ Nonrecirculating System)** พืชจะได้รับสารอาหารที่เตรียมขึ้นใหม่
เสมอใช้กับระบบการปูกลที่ใช้วัสดุปูกล

**2.2.4.4 ระบบการป้องกันพืชโดยไม่ใช้ดินแบบประยุกต์ เหมาะสำหรับการป้องกันพืชที่
จำกัดเพื่อประโยชน์ด้านการบริโภค ความสวยงามและนันทนาการ เช่นการป้องกันแบบแขวน การ
ป้องกันแบบลอย การป้องกันแบบเล่นระดับ และแบบแคปซูล**

2.2.5 ปัจจัยต่อการเจริญเติบโตและพัฒนาการของพืช

ไม่ว่าจะป้องกันด้วยวิธีดังเดิมหรือด้วยวิธีไฮโดรโปนิกส์ สารควบคุม โดยปัจจัยทั้งภายในและภายนอก การเรียนรู้ถึงอิทธิพลของปัจจัยต่างๆ เหล่านี้จึงเป็นเรื่องจำเป็น เนื่องจากเป็นความรู้พื้นฐานที่สำคัญในการกำหนดความสำเร็จหรือล้มเหลวในการป้องกันพืช การเจริญเติบโตของพืชที่ป้องกันด้วยวิธีไฮโดรโปนิกส์ขึ้นกับปัจจัยต่างๆ ซึ่งอาจจำแนกเป็นกลุ่มใหญ่ๆ ได้ 3 กลุ่ม ดังนี้

2.2.5.1 พันธุกรรม เป็นปัจจัยภายในตัวพืชเอง เพราะเกี่ยวข้องกับยีนซึ่งอยู่ในไฮโดรโปนิกของพืช ยีนเป็นตัวกำหนดลักษณะต่างๆ เช่น ความสูง รูปร่าง สี นอกจากนั้นยังเป็นตัวกำหนดว่าพืชจะเจริญเติบโตดี ให้ผลผลิตสูงหรือสามารถต้านทานศัตรูพืชได้ดีเพียงใด ปัจจัยทางพันธุกรรมจะมีอิทธิพลร่วมกับสภาพแวดล้อม

2.2.5.2 สารควบคุมการเจริญเติบโต ไม่ว่าการป้องกันพืชด้วยวิธีดังเดิมหรือป้องกันด้วยวิธีไฮโดรโปนิกส์ พืชมีสารควบคุมการเจริญเติบโตและการพัฒนาของส่วนต่างๆ อยู่ตลอดเวลา สารควบคุมการเจริญเติบโตของพืชเป็นสารอินทรีย์ ซึ่งไม่จำกัดว่าพืชสร้างขึ้นเองหรือมีมนุษย์สังเคราะห์ขึ้น สารปริมาณเพียงเล็กน้อยในช่วงเพียงส่วนในล้านส่วน (ppm) ก็สามารถกระตุ้นปัจจัยหรือเปลี่ยนการเจริญเติบโตของพืชได้

2.2.5.2 สภาพแวดล้อม สภาพแวดล้อมเป็นปัจจัยภายนอกที่มีผลต่อการเจริญเติบโตของพืช ซึ่งการตอบสนองต่อปัจจัยต่างๆ เหล่านี้ไม่ได้แตกต่างกัน ไม่ว่าจะป้องกันพืชด้วยวิธีดังเดิมหรือด้วยวิธีไฮโดรโปนิกส์ ปัจจัยที่เป็นตัวควบคุมการเจริญเติบโตและพัฒนาการของพืชมีอยู่หลายปัจจัย แต่เมื่อปัจจัยที่สำคัญดังต่อไปนี้

2.2.5.2.1 อุณหภูมิ อุณหภูมิควบคุมอัตราการเจริญเติบโตของพืช โดยมีผลโดยตรงต่อการสังเคราะห์แสง การหายใจ การคุณภาพอาหาร การคายน้ำและกิจกรรมของเอนไซม์ต่างๆ โดยทั่วไปอุณหภูมิที่เพิ่มขึ้นมีผลในการเร่งขบวนการทางเคมีต่างๆ ในพืช ขบวนการเหล่านี้ควบคุมโดยเอนไซม์ซึ่งจะทำงานได้ดีในช่วงอุณหภูมิแคบๆ อุณหภูมิสูงหรือต่ำกว่าช่วงที่เหมาะสมจะทำให้เอนไซม์ทำงานลดลง มีผลให้ปฏิกิริยาเคมีต่างๆ ในพืชลดลงหรือหยุดไปด้วย

เมื่อถึงจุดนี้ พืชจะอยู่ในภาวะเครียดและหยุดเจริญเติบโต และอาจตายได้ในที่สุด การควบคุมอุณหภูมิให้เหมาะสมต่อการเจริญเติบโตของพืชจึงเป็นเรื่องสำคัญ สำหรับการปลูกพืชแบบไฮโดรโปนิกส์ อุณหภูมิเป็นทบทาทสำคัญมากต่อการเจริญเติบโตของพืช เนื่องจากอุณหภูมิที่สูงขึ้นจะทำให้ออกซิเจนละลายน้ำได้ลดลง ทำให้มีออกซิเจนไม่เพียงพอต่อการหายใจของราก

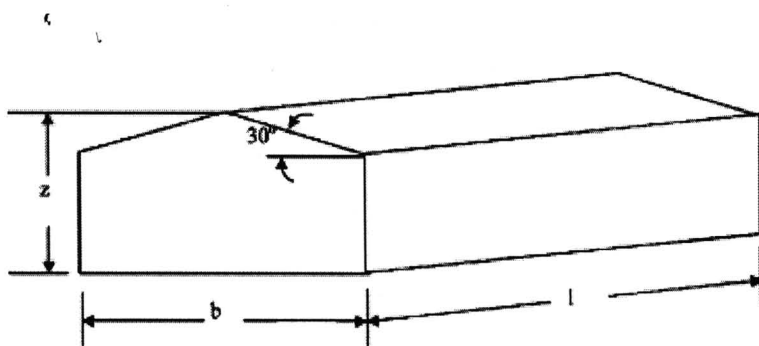
2.2.5.2.2 ความชื้นสัมพัทธ์ มีผลโดยตรงต่อการหายใจของพืช เมื่อความชื้นสัมพัทธ์ในอากาศสูงจะทำให้พืชหายใจน้ำ oy ลง ส่งผลให้การลำเลียงแร่ธาตุอาหารต่างๆ จากรากไปสู่ใบลดลง และยังทำให้อุณหภูมิที่ใบสูงขึ้น นอกจากนี้ความชื้นสัมพัทธ์สูงยังเป็นสาเหตุทำให้เกิดโรคบางโรคได้ง่ายอีกด้วย

2.2.5.2.3 แสง เป็นปัจจัยที่มีผลต่อการเจริญเติบโตและพัฒนาการของพืช เพราะแสงเป็นปัจจัยสำคัญในการสร้างอาหารหรือการสังเคราะห์แสงของพืช โดยมีคลอร์ฟิลล์เป็นตัวรับแสงไปใช้เป็นพลังงานในการเปลี่ยนคาร์บอน dioxide และน้ำ เป็นสารโบโรไฮเดรตและออกซิเจน แสงมีคุณสมบัติ 3 ประการที่มีผลต่อการเจริญเติบโตของพืช ได้แก่ ความยาวคลื่น ความเข้มแสง และระยะเวลาที่พืชได้รับแสง คุณสมบัติที่มีผลต่อการเจริญเติบโตของพืชที่ปลูกด้วยระบบไฮโดรโปนิกส์ที่สุด คือความเข้มแสง ความเข้มแสงที่มากเกินไปหรือน้อยเกินไป จะมีผลในการลดการสังเคราะห์แสงของพืช ทำให้พืชมีการเจริญเติบโตน้อยลง สำหรับการปลูกพืชในประเทศไทย ซึ่งอยู่ในเขตตropic ได้รับแสงที่มีความเข้มสูง การปลูกพืชในที่โล่งจึงต้องมีการให้ร่มเงาเพื่อลดความเข้มแสง นอกจากนี้แสงยังสัมผัสน์กับอุณหภูมิคือ เมื่อแสงมีความเข้มมากขึ้นอุณหภูมิก็จะสูงขึ้นตามไปด้วย ซึ่งในการปลูกพืชแบบไฮโดรโปนิกส์จะมองข้ามความสัมพันธ์นี้ไม่ได้ เนื่องจากอุณหภูมิของสารละลายที่ใช้ปลูกพืชมีบทบาทอย่างมากต่อกรรมของราก

2.2.5.2.4 องค์ประกอบของบรรณาการ พืชต้องใช้คาร์บอนไดออกไซด์เป็นวัตถุคินในการสังเคราะห์แสง ในอากาศโดยปกติมีก๊าซคาร์บอนไดออกไซด์ประมาณร้อยละ 0.03 ซึ่งเพียงพอต่อความต้องการของพืช นอกจากในบริเวณที่มีพืชหนาแน่นคาร์บอนไดออกไซด์อาจเป็นตัวจำกัดการเจริญเติบโตของพืชได้ในเวลากลางวัน เนื่องจากมีการสังเคราะห์แสงเกิดขึ้นมาก นอกจากคาร์บอนไดออกไซด์แล้ว พืชต้องการออกซิเจนใช้ในการหายใจเพื่อเปลี่ยนพลังงานเคมีที่สะสมไว้ในรูปสารโบโรไฮเดรตเป็นพลังงานใช้ในปฏิกริยาเคมีต่างๆ ในการปลูกพืชด้วยวิธีไฮโดรโปนิกส์นั้นส่วนที่อยู่เหนือคินมักไม่มีปัญหาการขาดออกซิเจน เนื่องจากในอากาศมีออกซิเจนอยู่ถึงร้อยละ 20 แต่ในส่วนของรากที่อยู่ในสารละลายมักเกิดปัญหาเนื่องจากปริมาณออกซิเจนที่ละลายอยู่ในน้ำไม่เพียงพอต่อความต้องการของพืช จึงต้องมีการเติมออกซิเจนในสารละลายซึ่งอาจทำได้โดยใช้ปั๊มหรือเครื่องสูบน้ำ หรืออาจใช้ระบบหมุนเวียนสารละลาย โดยปกติควรรักษาระดับออกซิเจนในสารละลายให้อยู่ที่ 8 ppm

2.2.6 โรงเรือน (Green House)

ปกติการปลูกผักไว้ดินแบบใช้สารละลายน้ำ หรือไฮโดรโปนิกส์ ภายใต้โรงเรือนที่มีมุ่งคุณหรือเป็นแผ่นโพลีเอธิลีน (Polyethylene film) หลังคาแบบรูปหน้าจั่ว (GABLE GREENHOUSE) ดังรูป 2.7 ที่พบเห็นกันทั่วไป โรงเรือนจะมีระบบระบายอากาศโดยการใช้พัดลม เพื่อถ่ายอากาศออกจากโรงเรือน โดยมีระบบทำความเย็นของโรงเรือน เป็นระบบการทำความเย็นแบบแผงความเย็น หรือบางโรงเรือนอาจมีระบบพ่นหมอกหรือไม่มีก็ได้ นอกจากนี้ มีการใช้ระบบถาดโฟมปลูกผักหรือระบบแรงพีวีซี เพื่อให้น้ำไหลไปยังรากผักเพื่อผักจะได้ดูดสารอาหารและมีระบบการทำความเย็นของสารอาหารด้วย



GABLE GREENHOUSE

รูป 2.7 โรงเรือน (Gupta and Chandra, 2002)

ระบบการทำความเย็นของโรงเรือนสามารถแบ่งออกเป็น 2 ระบบ ดังนี้

2.2.6.1 ระบบการทำความเย็นแบบแผงความเย็น (Evaporative Cooling System)

การทำความเย็นภายในโรงเรือน จะใช้พัดลมดูดอากาศผ่านระบบการทำความเย็นแบบแผงความเย็น (ซึ่งเป็นแบบน้ำเย็นไหลผ่านแผงทำความเย็น) ดังรูป 2.8 และ รูป 2.9 เข้ามาภายในโรงเรือน โดยเมื่ออากาศจากภายนอกโรงเรือนที่มีอุณหภูมิสูง ผ่านแผงทำความเย็น อุณหภูมิของอากาศจะลดลง เนื่องจากน้ำดูดซับความร้อนจากอากาศไปเมื่อผ่านแผงทำความเย็น ทำให้อุณหภูมิภายในโรงเรือนลดลง และพัดลมที่ใช้ดูดอากาศนี้ เป็นปัจจัยหลักของการใช้พลังงานไฟฟ้าของโรงเรือนโดยการถ่ายเทความร้อนของระบบการทำความเย็นแบบแผงความเย็น ดังรูป 2.9 และรูป 2.10 สามารถหาได้ ดังนี้

$$m_e = m_a (W_2 - W_1) = h_M A_s \Delta \rho_v \quad (2.20)$$

$$q = \rho_a c_{pa} Q (T_1 - T_2) + \rho_a Q (W_1 (h_{g1} - h_{g2}) - W_2 (h_{g2} - h_{gb})) \quad (2.21)$$

หรือ

$$q = h_H A_s \Delta T_{ln} \quad (2.22)$$

เมื่อ,

m_e	คือ อัตราการระเหยของน้ำ, (kg/h)
m_a	คือ อัตราการไหลเชิงมวลของอากาศ, (kg/h)
ρ_a	คือ ความหนาแน่นของอากาศ, (kg/m^3)
A_s	คือ พื้นที่ผิวรวมของแผง, (m^2)
h_H	คือ สัมประสิทธิ์การถ่ายเทความร้อน, (W/m^2K)
h_M	คือ สัมประสิทธิ์การถ่ายมวล, (m/h)
h_{g1}	คือ เอนthalpy ปีขาเข้าของไอน้ำอิ่มตัว, (kJ/kg)
h_{g2}	คือ เอนthalpy ปีขาออกของไอน้ำอิ่มตัว, (kJ/kg)
h_{gb}	คือ เอนthalpy ปีของไอน้ำอิ่มตัวที่อุณหภูมิภาวะเป่าเปียกของอากาศเข้า, (kJ/kg)
W_1	คือ สัดส่วนความชื้นต่ออากาศแห้งทางเข้า, (kg_w/kg_a)
W_2	คือ สัดส่วนความชื้นอากาศแห้งทางออก, (kg_w/kg_a)
T_1	คือ อุณหภูมิภาวะเป่าแห้งทางเข้า, ($^\circ C$)
T_2	คือ อุณหภูมิภาวะเป่าแห้งทางออก, ($^\circ C$)
c_p	คือ ความร้อนจับเฉพาะของอากาศแห้ง, (kJ/kg K)
q	คือ อัตราการถ่ายเทความร้อน, (W)
Q	คือ อัตราการไหลอากาศเชิงปริมาตร, (m^3/h)

ΔT_{\ln} คือ ความแตกต่างอุณหภูมิเฉลี่ยล็อกกาลิทึมสำหรับอุณหภูมิน้ำคงที่, ($^{\circ}\text{C}$)

$$\Delta T_{\ln} = \frac{(T_2 - T_1)}{\ln((T_2 - T_{wb})/(T_1 - T_{wb}))}$$

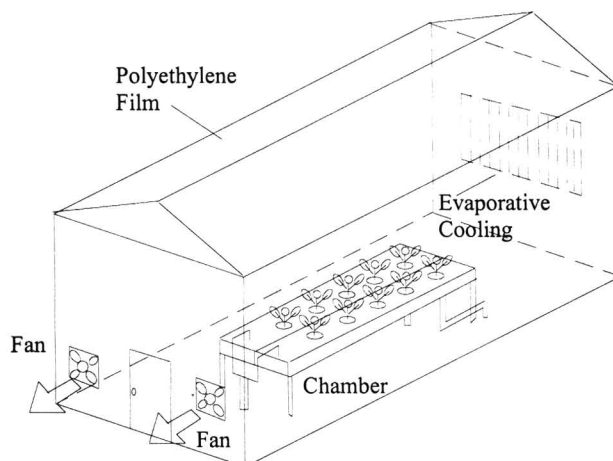
T_{wb} คือ อุณหภูมิกระเพาะเปียก, ($^{\circ}\text{C}$)

$$\Delta \rho_v = \frac{(\rho_{v2} - \rho_{v1})}{\ln((\rho_{v2} - \rho_{wb})/(\rho_{v1} - \rho_{wb}))}$$

ρ_{wb} คือ ความหนาแน่นของไอน้ำที่อุณหภูมิกระเพาะเปียก, (kg/m^3)

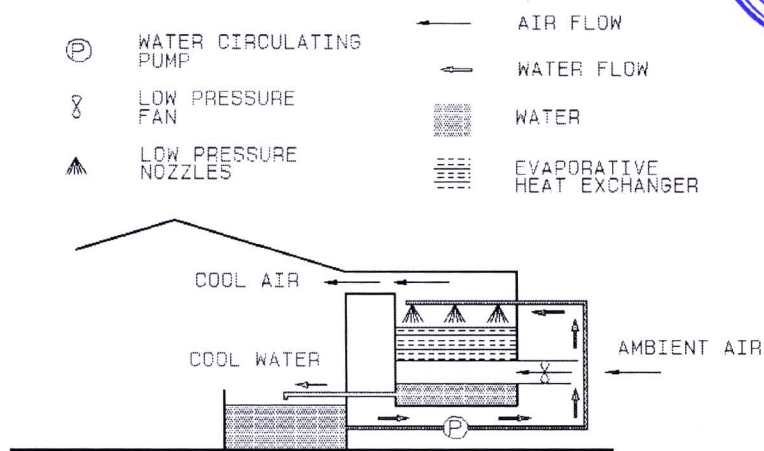
ρ_{v1} คือ ความหนาแน่นของไอน้ำในกระแสอากาศก่อนเข้า棚เพงทำความเย็น, (kg/m^3)

ρ_{v2} คือ ความหนาแน่นของไอน้ำในกระแสอากาศหลังผ่านเพงทำความเย็น, (kg/m^3)

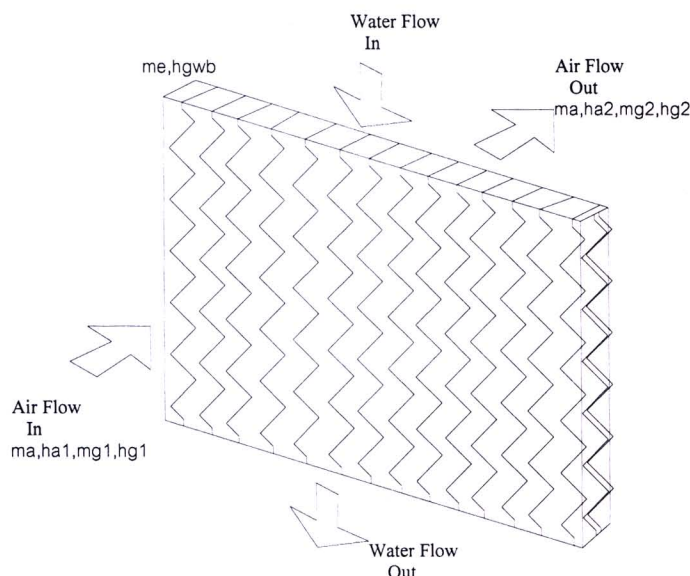


รูป 2.8 โรงเรือนระบบปลูกพืชไฮโดรโปนิกส์และระบบทำความเย็น

(Srihajong et al., 2005)



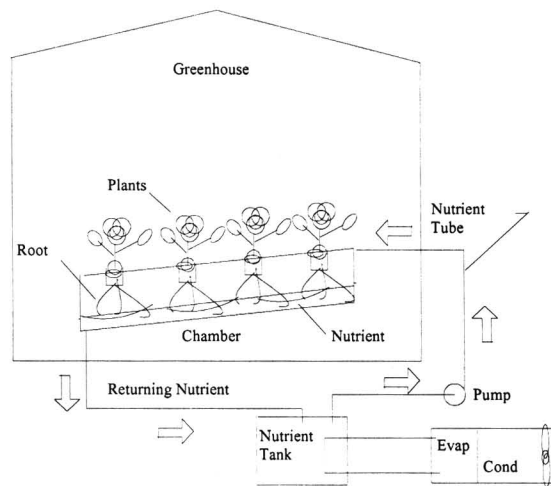
รูป 2.9 ระบบทำความเย็นแบบแพงความเย็นหรือ Pad System (Baird ,1993)



รูป 2.10 วัสดุระบบทำความเย็นแบบแพงความเย็นหรือ Pad System (Chung-Min Liao, 2002)

2.2.6.2 ระบบทำความเย็นสารอาหาร (Nutrient Refrigeration System)

เมื่อสารอาหาร ไหล่ผ่านร่างปูกพิชและยังไครับความร้อนจากแสงแดด แล้วดังรูป 2.11 อุณหภูมิของสารอาหารจะสูงขึ้น และไหล่กลับไปยังถังเก็บ เพื่อลดอุณหภูมิของสารอาหารลง จึงใช้ระบบทำความเย็นในการลดอุณหภูมิของสารอาหาร ซึ่งเป็นปัจจัยหลักของการใช้พลังงานทางไฟฟ้าของระบบทำความเย็นสารอาหาร



รูป 2.11 ระบบทำความเย็นของสารอาหารพืช (Srihajong et al., 2005)

โดยการถ่ายเทความร้อนของระบบทำความเย็นของสารอาหาร สามารถได้ดังนี้

2.2.6.2.1 การถ่ายเทความร้อนระหว่างสารอาหารและส่วนทำระเหย

(Heat Transfer Between Nutrient and Evaporator section) ดังรูป 2.12

$$Q_e = \frac{U_e A_e ((T_{ni} - T_{eo}) - (T_{no} - T_{ei}))}{\ln[(T_{ni} - T_{eo})/(T_{no} - T_{ei})]} \quad (2.23)$$

เมื่อ Q_e คือ อัตราการถ่ายเทความร้อนที่ส่วนทำระเหย, (W)

U_e คือ สัมประสิทธิ์การถ่ายเทความร้อนรวมที่ส่วนทำระเหย, ($\text{W}/\text{m}^2\text{C}$)

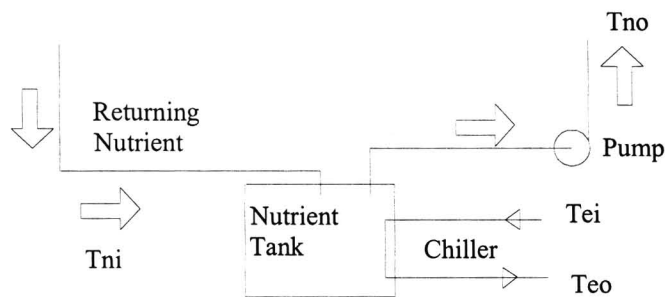
A_e คือ พื้นที่การถ่ายเทความร้อนที่ส่วนทำระเหย, (m^2)

T_{ei} คือ อุณหภูมิของสารทำความเย็นที่ทางเข้า, ($^\circ\text{C}$)

T_{eo} คือ อุณหภูมิของสารทำความเย็นที่ทางออก, ($^\circ\text{C}$)

T_{ni} คือ อุณหภูมิของสารอาหารที่ทางเข้า, ($^\circ\text{C}$)

T_{no} คือ อุณหภูมิของสารอาหารที่ทางออก, ($^\circ\text{C}$)



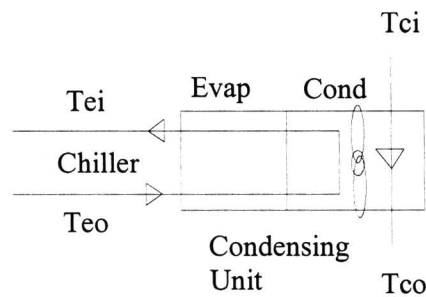
รูป 2.12 การถ่ายเทความร้อนของสารอาหาร (Srihajong et al., 2005)

2.2.6.2.2 การถ่ายเทความร้อนระหว่างสารทำความเย็น (Heat Transfer Between Refrigerant) ดังรูป 2.13

$$Q_c = \frac{U_c A_c ((T_{ei} - T_{co}) - (T_{eo} - T_{ci}))}{\ln[(T_{ei} - T_{co})/(T_{eo} - T_{ci})]} \quad (2.24)$$

เมื่อ

- Q_c คือ อัตราการถ่ายเทความร้อนที่ส่วนควบแน่น, (W)
- U_c คือ สัมประสิทธิ์การถ่ายเทความร้อนรวมที่ส่วนควบแน่น, ($\text{W}/\text{m}^2\text{C}$)
- A_c คือ พื้นที่การถ่ายเทความร้อนที่ส่วนควบแน่น, (m^2)
- T_{ei} คือ อุณหภูมิของสารทำความเย็นที่ทางเข้าส่วนทำระเหย, ($^\circ\text{C}$)
- T_{eo} คือ อุณหภูมิของสารทำความเย็นที่ทางออกส่วนทำระเหย, ($^\circ\text{C}$)
- T_{ci} คือ อุณหภูมิของสารทำความเย็นที่ทางเข้าส่วนควบแน่น, ($^\circ\text{C}$)
- T_{co} คือ อุณหภูมิของสารทำความเย็นที่ทางออกส่วนควบแน่น, ($^\circ\text{C}$)

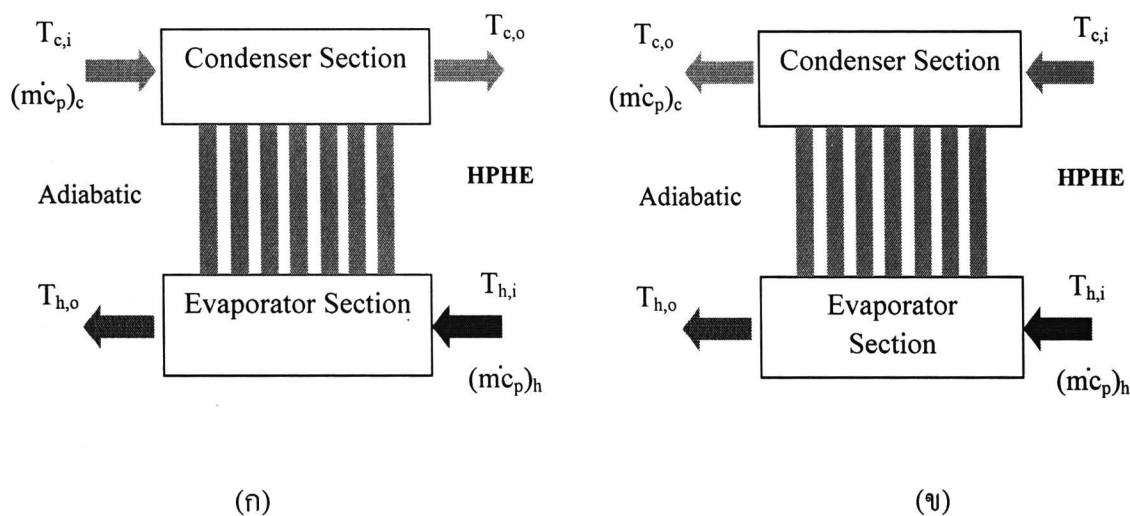


รูป 2.13 การถ่ายเทความร้อนของสารทำความเย็น (Srihajong et al., 2005)

2.2.7 ค่าประสิทธิภาพของเครื่องแลกเปลี่ยนความร้อน

เครื่องแลกเปลี่ยนความร้อนแบบท่อความร้อน (HPHE) เป็นเครื่องแลกเปลี่ยนความร้อนชนิดหนึ่งที่ใช้ในการถ่ายเทความร้อนระหว่างของไอลร้อนกับของไอลเย็น โดยอาศัยท่อความร้อนที่มีประสิทธิภาพในการถ่ายเทความร้อนสูง เครื่องแลกเปลี่ยนความร้อนแบบท่อความร้อนจะมีลักษณะดังรูป 2.14 ประกอบด้วยท่อความร้อนเรียงกันอยู่เป็นแทวอยู่ภายในตัวเครื่อง ท่อความร้อนที่ใช้สามารถเลือกใช้ได้ทั้งท่อความร้อนแบบมีวัสดุพูนและท่อความร้อนแบบเทอร์โม่ไฟฟอน

ปริมาณของการถ่ายเทความร้อนของเครื่องแลกเปลี่ยนความร้อนแบบท่อความร้อน และการกระจายอุณหภูมิของของไอลร้อนและของไอลเย็นเป็นดังแสดงในรูป 2.14 รูป 2.15 และรูป 2.16 ซึ่งสามารถแสดงรายละเอียดดังต่อไปนี้



รูป 2.14 แสดงลักษณะการทำงานของเครื่องแลกเปลี่ยนความร้อนแบบท่อความร้อน (ก)แบบไอลสวนทาง (ข) แบบไอลตามกัน

2.2.7.1 การส่งถ่ายความร้อนของ HPHE แบบไอลสวันทาง

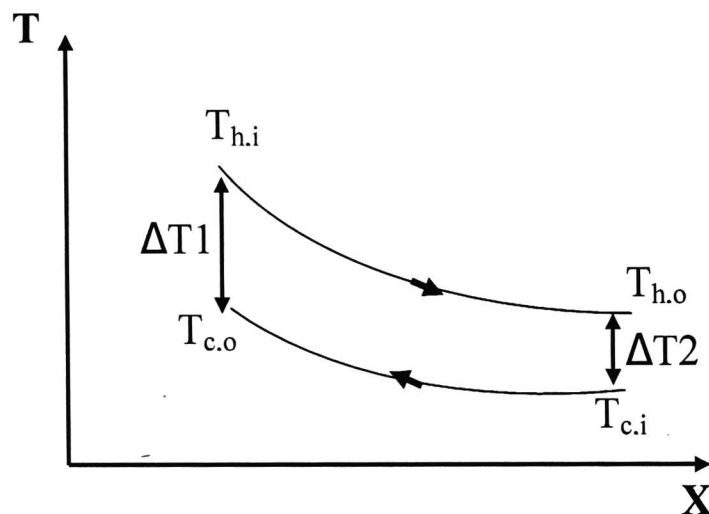
จากรูป 2.14 (ก) ของไอลร้อนจะไอลเข้าเครื่องแลกเปลี่ยนความร้อนแบบท่อ ความร้อนส่วนล่างและของไอลเย็นจะไอลเข้าเครื่องแลกเปลี่ยนความร้อนแบบท่อความร้อนที่ ส่วนบนของเครื่องแลกเปลี่ยนความร้อน จากรูป 2.15 จะเห็นได้ว่าการกระจายอุณหภูมิของไอลร้อนจะมีค่าลดลงเมื่อระย่างในการแลกเปลี่ยนความร้อนเพิ่มขึ้นและการกระจายอุณหภูมิของไอลเย็นจะมีค่าเพิ่มขึ้นเมื่อระย่างในการแลกเปลี่ยนความร้อนเพิ่มขึ้น ทั้งนี้เนื่องจากการส่งถ่ายความร้อนจากของไอลร้อนผ่านเครื่องแลกเปลี่ยนความร้อนระหว่างความร้อนให้แก่ของไอลเย็น ซึ่ง การคำนวณหาอัตราการถ่ายเทความร้อนในอุปกรณ์แลกเปลี่ยนความร้อนที่ของไอลสองชนิดไม่ปน กันสามารถคำนวณได้ตามสมการ

พิจารณาค่าการส่งถ่ายความร้อนด้านของไอลเย็น

$$Q_c = (\dot{m}c_p)_c (T_{c,o} - T_{c,i}) \quad (2.25)$$

พิจารณาค่าการส่งถ่ายความร้อนด้านของไอลร้อน

$$Q_h = (\dot{m}c_p)_h (T_{h,i} - T_{h,o}) \quad (2.26)$$



รูป 2.15 กราฟแสดงการกระจายอุณหภูมิของเครื่องแลกเปลี่ยนความร้อนแบบไอลสวันทาง

(Frank P. Incropera, Fundamentals of heat and mass transfer, 1996)

จะเห็นว่าสมการข้างต้นจะพิจารณาเฉพาะการส่งถ่ายความร้อนแต่ละกระแสนของไอล ดังนั้นในการที่จะพิจารณาถึงการส่งถ่ายความร้อนสองกระแสรรวมกันจึงต้องมีวิธีการคิดค่าการส่งถ่ายความร้อนจากทั้งสองกระแสรคือพิจารณาถึงความแตกต่างของอุณหภูมิเฉลี่ย Logarithmic Mean Temperature Difference (LMTD) เพื่อใช้ควบคุมการส่งถ่ายความร้อนของแต่ละกระแสรให้สอดคล้องกันซึ่งเป็นสภาวะที่เกิดการส่งถ่ายความร้อนจริง

$$Q = UA\Delta T_{LM} \quad (2.27)$$

เมื่อ

$$\Delta T_{LM} = \frac{[(T_{h,i} - T_{c,o}) - (T_{h,o} - T_{c,i})]}{\ln \left[\frac{(T_{h,i} - T_{c,o})}{(T_{h,o} - T_{c,i})} \right]}$$

ค่าประสิทธิผลของเครื่องแลกเปลี่ยนความร้อน คือ ค่าที่บ่งบอกถึงการส่งถ่ายความร้อนว่าสามารถส่งถ่ายความร้อนได้มากน้อยแค่ไหน ซึ่งสามารถหาได้ดังสมการ

$$\varepsilon = \frac{Q}{Q_{max}} \quad (2.28)$$

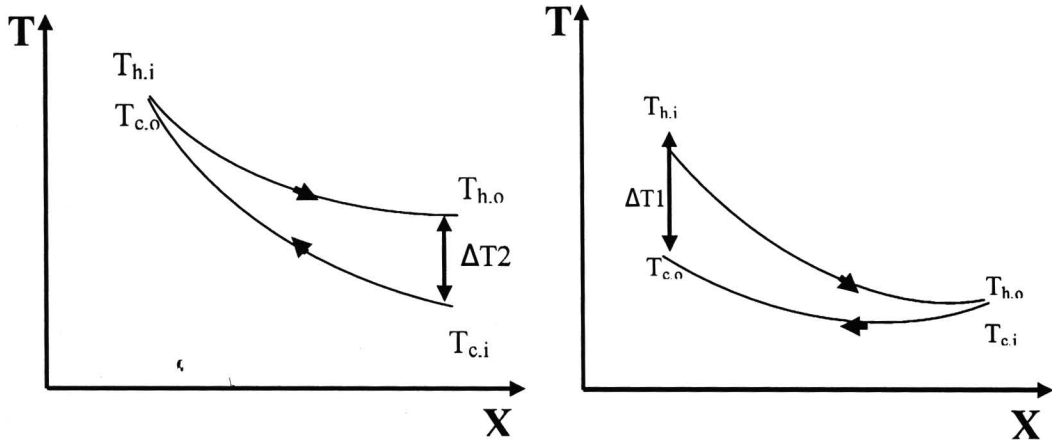
เมื่อ

Q คือ ค่าการส่งถ่ายความร้อนที่สามารถทำได้

Q_{max} คือ ค่าการส่งถ่ายความร้อนที่สามารถทำได้มากที่สุด

Q_{max} นั้นสามารถพิจารณาได้สองกรณีคือ เมื่อค่า $(\dot{m}c_p)_c < (\dot{m}c_p)_h$ ซึ่งทำให้ผลต่างของ $(T_{c,o} - T_{c,i}) > (T_{h,i} - T_{c,o})$ จากรูป 2.16 (ก) เมื่อระยะทางการแลกเปลี่ยนความร้อนมากๆ (x เข้าใกล้ระยะอนันต์) จะทำให้ $(T_{c,o} = T_{h,i})$ ดังนั้นจากสมการ (2.25) จะได้

$$Q_{\max} = (\dot{m}c_p)_c (T_{h,i} - T_{c,i}) \quad (2.29)$$



รูป 2.16 กราฟแสดงการกระจายอุณหภูมิของเครื่องแลกเปลี่ยนความร้อนแบบไอลส่วนทาง

$$(n) (\dot{m}c_p)_c < (\dot{m}c_p)_h \quad (u) (\dot{m}c_p)_h < (\dot{m}c_p)_c$$

(Frank P. Incropera, Fundamentals of heat and mass transfer, 1996)

และเมื่อค่า $(\dot{m}c_p)_h < (\dot{m}c_p)_c$ ซึ่งทำให้ผลต่างของ $(T_{h,i} - T_{h,o}) > (T_{c,o} - T_{c,i})$ จากรูป 2.16 (ช) เมื่อระบบทางการแลกเปลี่ยนความร้อนมากๆ (x เข้าใกล้ระบบอนันต์) จะทำให้ $(T_{h,o} = T_{c,i})$ ดังนั้นจากสมการ (2.26) จะได้

$$Q_{\max} = (\dot{m}c_p)_h (T_{h,i} - T_{c,i}) \quad (2.30)$$

ดังนั้นสามารถเขียน Q_{\max} ได้ดังนี้

$$Q_{\max} = (\dot{m}c_p)_{\min} (T_{h,i} - T_{c,i}) \quad (2.31)$$

ประสิทธิผลของเครื่องแลกเปลี่ยนความร้อนด้านของไอลเย็นสามารถหาได้ดังสมการ

$$\varepsilon_c = \frac{(\dot{m}c_p)_c (T_{c,o} - T_{c,i})}{(\dot{m}c_p)_{\min} (T_{h,i} - T_{c,i})} \quad (2.32)$$

ประสิทธิผลของเครื่องแลกเปลี่ยนความร้อนด้านของไอลร้อนสามารถหาได้ดังสมการ

$$\mathcal{E}_h = \frac{(\dot{m}c_p)_h(T_{h,i} - T_{h,o})}{(\dot{m}c_p)_{\min}(T_{h,i} - T_{c,i})} \quad (2.33)$$

2.2.7.2 การส่งถ่ายความร้อนของ HPHE แบบไอลตามกัน

จากรูป 2.14 (ข) ของไอลร้อนจะไอลเข้าเครื่องแลกเปลี่ยนความร้อนแบบท่อความร้อนส่วนล่างและของไอลเย็นจะไอลเข้าเครื่องแลกเปลี่ยนความร้อนแบบท่อความร้อนที่ส่วนบนของเครื่องแลกเปลี่ยนความร้อน จากรูป 2.17 จะเห็นได้ว่าการกระจายอุณหภูมิของไอลร้อนจะมีค่าลดลงเมื่อระยะทางในการแลกเปลี่ยนความร้อนเพิ่มขึ้นและการกระจายอุณหภูมิของไอลเย็นจะมีค่าเพิ่มขึ้นเมื่อระยะทางในการแลกเปลี่ยนความร้อนเพิ่มขึ้น ทั้งนี้เนื่องจากการส่งถ่ายความร้อนจากของไอลร้อนผ่านเครื่องแลกเปลี่ยนความร้อนระหว่างความร้อนให้แก่ของไอลเย็น ซึ่งการคำนวณหาอัตราการถ่ายเทความร้อนในอุปกรณ์แลกเปลี่ยนความร้อนที่ของไอลสองชนิดไม่ปนกันสามารถคำนวณได้ตามสมการ

พิจารณาค่าการส่งถ่ายความร้อนด้านของไอลเย็น

$$Q_c = (\dot{m}c_p)_c(T_{c,i} - T_{c,o}) \quad (2.34)$$

พิจารณาค่าการส่งถ่ายความร้อนด้านของไอลร้อน

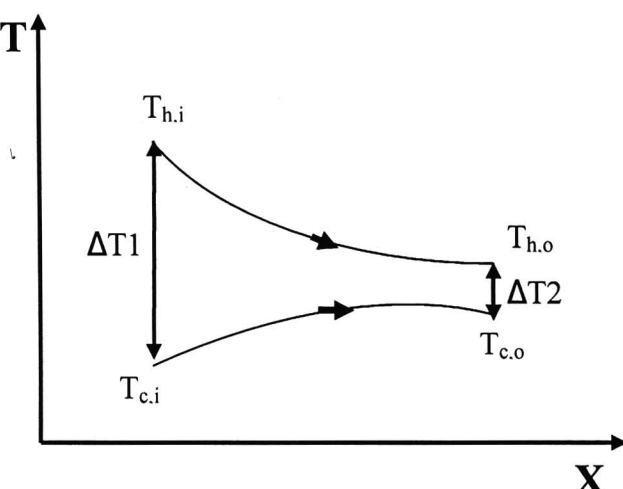
$$Q_h = (\dot{m}c_p)_h(T_{h,i} - T_{h,o}) \quad (2.35)$$

ในทำนองเดียวกันกับการพิจารณาเครื่องแลกเปลี่ยนความร้อนแบบไอลส่วนทางจะได้ค่าการส่งถ่ายความร้อนโดยวิธีการพิจารณาความแตกต่างของอุณหภูมิเคลื่ย Logarithmic Mean Temperature Difference (LMTD) ได้ดังสมการ

$$Q = UA\Delta T_{LM} \quad (2.36)$$

เมื่อ

$$\Delta T_{LM} = \frac{[(T_{h,i} - T_{c,i}) - (T_{h,o} - T_{c,o})]}{\ln \left[\frac{(T_{h,i} - T_{c,i})}{(T_{h,o} - T_{c,o})} \right]}$$



รูป 2.17 กราฟแสดงการกระจายอุณหภูมิของเครื่องแลกเปลี่ยนความร้อนแบบไอลตามกัน

(Frank P. Incropera, Fundamentals of heat and mass transfer, 1996)

ค่าประสิทธิภาพของเครื่องแลกเปลี่ยนความร้อน คือ ค่าที่บ่งบอกถึงการส่งถ่ายความร้อนว่าสามารถส่งถ่ายความร้อนได้มากน้อยแค่ไหน ซึ่งสามารถหาได้ดังสมการ

$$\varepsilon = \frac{Q}{Q_{\max}} \quad (2.37)$$

เมื่อ

Q คือ ค่าการส่งถ่ายความร้อนที่สามารถทำได้

Q_{\max} คือ ค่าการส่งถ่ายความร้อนที่สามารถทำได้มากที่สุด

ในทำนองเดียวกันกับการพิจารณาเครื่องแลกเปลี่ยนความร้อนแบบไอลสวนทางจะได้ค่าการส่งถ่ายความร้อนที่สามารถทำได้มากที่ดังนี้

$$Q_{\max} = (\dot{m}c_p)_{\min} (T_{h,i} - T_{c,i}) \quad (2.38)$$

ประสิทธิผลของเครื่องแฉกเปลี่ยนความร้อนค้านของไอลร้อนสามารถหาได้ดัง
สมการ

$$\mathcal{E}_c = \frac{(\dot{m}c_p)_c (T_{c,o} - T_{c,i})}{(\dot{m}c_p)_{\min} (T_{h,i} - T_{c,i})} \quad (2.39)$$

ประสิทธิผลของเครื่องแฉกเปลี่ยนความร้อนค้านของไอลร้อนสามารถหาได้ดัง
สมการ

$$\mathcal{E}_h = \frac{(\dot{m}c_p)_h (T_{h,i} - T_{h,o})}{(\dot{m}c_p)_{\min} (T_{h,i} - T_{c,i})} \quad (2.40)$$

2.2.8 การวิเคราะห์ทางเศรษฐศาสตร์

การออกแบบชุดท่อความร้อนต้องพิจารณาถึงหลักเกณฑ์ทางเศรษฐศาสตร์ เพื่อความ
คุ้มค่าทางเศรษฐศาสตร์ ซึ่งมีรายละเอียดดังนี้

2.2.8.1 จุดคุ้นทุน (Break-even Point)

จุดคุ้นทุน คือ จุดที่รายได้มีค่าเท่ากับรายจ่าย หรือจุดที่มีกำไรเท่ากับศูนย์

$$N^* = \frac{F}{p - v} \quad (2.41)$$

เมื่อ

N^* คือ ปริมาณที่จุดคุ้นทุนพอดี

F คือ ต้นทุนคงที่ (Fix Cost)

v คือ ต้นทุนแปรผันต่อหน่วย

2.2.8.2 วิธีมูลค่าปัจจุบันสุทธิ (Net Present Value Method)

มูลค่าปัจจุบันสุทธิ คือ จำนวนผลประโยชน์สุทธิที่ได้รับตลอดระยะเวลาของโครงการ อาจจะมีค่าเป็นบวกหรือลบหรือศูนย์ได้ ขึ้นอยู่กับขนาด (magnitude) ของมูลค่าปัจจุบันของผลประโยชน์รวม (PVB) หักออกจากด้วยมูลค่าปัจจุบันของต้นทุนรวม (PVC) ของโครงการนั้น สามารถหาได้ดังนี้

$$NPV = PVB - PVC \quad (2.42)$$

โดยที่

$$PVB = \sum_{t=1}^m \frac{B_t}{(1+r)^t}$$

โดยที่

$$PVC = \sum_{t=1}^k \frac{C_t}{(1+r)^t}$$

ดังนั้น

$$NPV = \sum_{t=1}^m \frac{B_t}{(1+r)^t} - \sum_{t=1}^k \frac{C_t}{(1+r)^t} \quad (2.43)$$

โดย

t คือ ปี

m คือ อายุของโครงการ

k คือ ระยะเวลาในการก่อสร้างระบบ

r คือ อัตราดอกเบี้ยหรืออัตราคิดลดที่เหมาะสม

B_t คือ ผลประโยชน์ของโครงการในปีที่ t

C_t คือ ค่าใช้จ่ายในการลงทุนของโครงการในปีที่ t

การตัดสินใจ

ถ้า NPV เป็นบวกโครงการยอมรับได้

ถ้า NPV เป็นลบโครงการยอมรับไม่ได้

2.2.8.3 วิธีระยะเวลาคืนทุน (Payback Period Method, PB)

ระยะเวลาคืนทุน คือ ระยะเวลาที่กระแสเงินสดรับสุทธิจากการลงทุนมีจำนวนเท่ากับกระแสเงินสดจ่ายลงทุนสุทธิตอนเริ่มโครงการ การคำนวณระยะเวลาคืนทุน สามารถหาได้ดังนี้

$$\text{ระยะเวลาคืนทุน} = (\text{เงินลงทุนสุทธิ}) / (\text{รายได้รับสุทธิรายปี}) \quad (2.44)$$

2.2.8.4 วิธีอัตราผลตอบแทนภายใน (Internal Rate of Return Method, IRR)

อัตราผลตอบแทนภายใน คือ ผลตอบแทนเป็นร้อยละต่อโครงการ หรือหมายถึง อัตราดอกเบี้ยในกระบวนการคิดลดที่ทำให้มูลค่าปัจจุบันของโครงการมีค่าเท่ากับ 0 ณ จุดนี้ จำเป็นต้องอธิบายเพิ่มเติมถึงความสัมพันธ์ระหว่าง อัตราดอกเบี้ยกับขนาดของมูลค่าปัจจุบันสุทธิ ถ้าอัตราดอกเบี้ยระดับหนึ่งที่ใช้ในกระบวนการคิดลดแล้วทำให้มูลค่าปัจจุบันสุทธิมีค่าลดลงแล้วทำให้มูลค่าปัจจุบันสุทธิมีค่าเป็นบวก อัตราดอกเบี้ยระดับใหม่ที่สูงกว่าจะทำให้มูลค่าปัจจุบันสุทธิมีค่าลดลง และลดลงต่อไปตราบเท่าที่อัตราดอกเบี้ยยังคงเพิ่มสูงขึ้นตามลำดับ ในที่นี้จะมีอัตราดอกเบี้ยระดับหนึ่งที่ทำให้มูลค่าปัจจุบันสุทธิมีค่าเท่ากับ 0 พอดี ซึ่งก็คือ อัตราผลตอบแทนภายใน โครงการ เมื่อกำหนดให้ r คืออัตราผลตอบแทนภายในโครงการ และค่าของ r จะสามารถหาได้จากการแก้สมการข้างล่างนี้

$$\sum_{t=1}^n \frac{(B_t - C_t)}{(1+r)^t} = 0 \quad (2.45)$$

โดย

t คือปี

r คือ อัตราดอกเบี้ยหรืออัตราคิดลดที่เหมาะสม

B_t คือ ผลประโยชน์ของโครงการในปีที่ t

C_t อัตราใช้จ่ายในการสูงทุนของโครงการในปีที่ t

หลักการตัดสินใจที่แสดงว่าโครงการมีค่าความเหมาะสมและคุ้มค่าทางด้านเศรษฐกิจและด้านการเงินหรือไม่นั้น ให้พิจารณาจากอัตราผลตอบแทนภายในโครงการคือ เมื่ออัตราผลตอบแทนภายในโครงการสูงกว่าค่าเสียโอกาสของทุน

2.2.8.5 วิธีอัตราส่วนผลประโยชน์ต่อต้นทุน (Benefit-Cost Ratio, BCR)

อัตราส่วนผลประโยชน์ต่อต้นทุน คือ มูลค่าปัจจุบันของผลประโยชน์หารด้วย มูลค่าปัจจุบันของต้นทุนรวม ผลประโยชน์จะเกิดขึ้นตลอดอายุทางเศรษฐกิจของโครงการ ถึงแม้ว่า การลงทุนโครงการผ่านพื้นไปแล้ว ในขณะที่ต้นทุนการก่อสร้างจะเกิดขึ้นเฉพาะในการลงทุน เท่านั้น ส่วนต้นทุนที่อยู่ในรูปค่าใช้จ่ายในการดำเนินงาน ซ่อมแซมบำรุงรักษาและบำรุงดูแล อุปกรณ์ที่เสื่อมสภาพ จะเกิดขึ้นตลอดอายุทางเศรษฐกิจของโครงการ จากนั้นจะนำเอกสารและ ผลประโยชน์และกระแสต้นทุนของโครงการที่ได้ปรับค่าไปตามเวลาหรือคิดเป็นมูลค่าปัจจุบันแล้ว มาเปรียบเทียบกันเพื่อหาอัตราส่วนผลประโยชน์ต่อต้นทุนดังนี้

$$BCR = \frac{PVB}{PVC}$$

ดังนั้น

$$BCR = \frac{\sum_{t=1}^n \frac{B_t}{(1+r)^t}}{\sum_{t=1}^n \frac{C_t}{(1+r)^t}} \quad (2.46)$$

โดย

t คือ ปี

r คือ อัตราดอกเบี้ยหรืออัตราคิดลดที่เหมาะสม

B_t คือ ผลประโยชน์ของโครงการในปีที่ t

C_t คือ ค่าใช้จ่ายในการดูแลรักษาของโครงการในปีที่ t

หลักการตัดสินใจที่แสดงว่าโครงการมีค่าความเหมาะสมและคุ้มค่าทางด้าน เศรษฐกิจและด้านการเงินหรือไม่นั้น ให้พิจารณาจากอัตราส่วนผลประโยชน์ต่อต้นทุนคือ เมื่ออัตราส่วนผลประโยชน์ต่อต้นทุนมีค่ามากกว่าหรือเท่ากับ 1

2.2.8.6 มูลค่ากำไรสุทธิ (Net saving)

ในการออกแบบในงานวิศวกรรมหรือโครงการสร้างต่างๆ รวมถึงงานวิจัยทั่วไป จำเป็นต้องตัดสินใจออกแบบและสร้างเพื่อให้เกิดประโยชน์มากที่สุดประยุกต์ประยุณที่สุด

ดังนั้นในการออกแบบจริงจำเป็นต้องนำเอาหลักการทางด้านเศรษฐศาสตร์มาช่วยในการตัดสินใจเพื่อทำให้การออกแบบและสร้างนั้นเกิดประโยชน์มากที่สุดและเสียค่าใช้จ่ายน้อยที่สุด ดังนั้นจึงได้มีงานวิจัยการประมาณมูลค่ากำไรมาก (Net saving) ที่ได้จากการสร้างเครื่องแลกเปลี่ยนความร้อนทั่วๆ ไป (Soylemez et al., 2003) สำหรับงานวิจัยนี้ได้ทำการประยุกต์สมการของ Soylemez et al., 2003 มาใช้เพื่อหามูลค่ากำไรมากใน การออกแบบสร้างท่อความร้อน ไว้ดังสมการต่อไปนี้

$$S = C_E HQ - C_{HP} \quad (2.47)$$

เมื่อ

S คือ มูลค่ากำไรมาก (บาท)

C_E คือ ราคาของพลังงานความร้อนที่สามารถถ่ายเทได้ (บาท/Wh)

H คือ อายุการทำงานของท่อความร้อน (hr)

Q คือ อัตราความร้อนที่สามารถถ่ายเทได้ (W)

C_{HP} คือ ราคากลุ่มท่อความร้อน (บาท)

หรือ

$$S = \frac{(P_1)(Diesel)}{CE} (H)(Heat_rate) - (1 - R_v(1+d)^{-Year})(Cu_tube_price) \quad (2.48)$$

เมื่อ

$$Cu_tube_price = (Cu_price + weld_Cu + Cap_Cu + WF_price)(tube) \quad (2.49)$$

เมื่อ

P_1 คือ ปี (year)

Diesel คือ น้ำมันดีเซล (Baht / liter)

CE คือ ค่าการทำความร้อน (MJ / liter)

H คือ อายุการใช้งาน (hrs / year)

Heat_rate คือ อัตราการถ่ายเทความร้อน (Watt)

R_v คือ resale value (%)

d คือ อัตราดอกเบี้ย (%)
 Year คือ ปี (year)
 Cu_tube_price คือ ราคาสร้างท่อความร้อน (Baht)
 Cu_price คือ ราคายอดคงเหลือ (Baht)
 weld_Cu คือ ราคาก่อซ่อมท่อ (Baht)
 Cap_Cu คือ ราคางานปิดท่อ (Baht)
 WF_price คือ ราคากลางสำเร็จ (Baht / kg)
 tube คือ จำนวนท่อ (ท่อ)